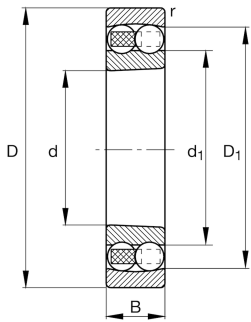


**FAG****1210-K-TVH-C3** [↗](#)

Rodamiento oscilante de bolas

Self-aligning ball bearing 12..-K-TVH, tapered bore taper 1:12, plastic cage

## Información técnica



## Variante de su producto actual

Tipo de agujero	K	Cónico, conicidad 1:12
Obturaciones	Sin	Sin
Jaula	TVH	Jaula maciza de poliamida PA66 reforzada con fibra de vidrio
Clase de tolerancia	PN	Tolerance class PN, acc. to DIN 620
Juego radial del rodamiento	C3 (Group 3)	Internal clearance larger than CN
Lubricante	Sin	Sin

## Medidas principales y datos de rendimiento

d	50 mm	Diámetro del agujero
D	90 mm	Diámetro exterior
B	20 mm	Anchura
C <sub>r</sub>	22.900 N	Capacidad de carga dinámica, radial
C <sub>0r</sub>	8.100 N	Capacidad de carga estática, radial
C <sub>ur</sub>	520 N	Límite de carga por fatiga, radial
n <sub>G</sub>	8.700 1/min	Velocidad límite de rotación
n <sub>gR</sub>	7.700 1/min	Velocidad de referencia
≈m	0,506 kg	Peso



### Medidas de montaje

$d_{a \min}$	57 mm	Diámetro mínimo resalte del eje
$d_{a \max}$	62 mm	Diámetro máximo del resalte del eje
$D_{a \max}$	83 mm	Diámetro máximo del resalte del alojamiento
$d_{b \min}$	53 mm	Diámetro mínimo de la cavidad del casquillo
$B_{a \min}$	5 mm	Anchura mínima de la cavidad del casquillo
$r_{a \max}$	1 mm	Radio máximo de garganta

### Medidas

$r_{\min}$	1,1 mm	Medidas mínimas del chaflán
$D_1$	77,13 mm	Diámetro del resalte del anillo exterior
$d_1$	62,7 mm	Diámetro del resalte del anillo interior

### Rango de temperatura

$T_{\min}$	-30 °C	Temperatura mín. de funcionamiento
$T_{\max}$	120 °C	Temperatura máx. de funcionamiento

### Factores de cálculo

$e$	0,2	Valor límite de $F_a/F_r$ para la aplicabilidad de dif. Valores de los factores X e Y
$Y_1$	3,15	Factor de carga axial dinámica
$Y_2$	4,87	Factor de carga axial dinámica
$Y_0$	3,3	Factor de carga axial estática

### Información adicional

H210

Manguito de fijación



### Características

---

-  Carga radial
-  Carga axial en un sentido
-  Carga axial en ambos sentidos
-  Lubricación con grasa
-  Lubricación con aceite
-  No obturado
-  Errores de alineación estáticos
-  Errores de alineación dinámicos